

Olografia

Alberto Bordin, Giulio Cappelli

13-17 Novembre 2017

Sommario

1 Teoria

L'olografia è basata sulla registrazione di fase e ampiezza di un'onda elettromagnetica $a(x, y) = |a(x, y)|e^{i\phi(x, y)}$ su di un supporto che giace nel piano x-y, in modo da poter poi ricostruire l'immagine. Il supporto in questione è una lastra fotografica sensibile all'intensità incidente, quindi è necessaria un'onda di riferimento $A(x, y) = |A(x, y)|e^{i\psi(x, y)}$. Infatti l'interferenza tra il fascio di riferimento e il fascio diffuso dall'oggetto provoca un pattern d'interferenza che contiene tutta l'informazione su ampiezza e fase in quanto l'intensità incidente sulla lastra risulta essere:

$$I(x, y) = |A(x, y) + a(x, y)|^2 = |A(x, y)|^2 + |a(x, y)|^2 + |a|^2 + aA^* + Aa^* \quad (1)$$

Assumendo che la trasmettività della lastra sia lineare con l'intensità incidente, $t = \gamma I$, si ha:

$$t(x, y) = t_{ref} + \gamma(|a|^2 + aA^* + Aa^*) \quad (2)$$

dove $t_{ref} = \gamma|A|^2$ è la trasmettività di background dovuta all'onda di riferimento.

È quindi possibile ricostruire l'immagine registrata utilizzando in trasmissione un'onda di ricostruzione $B(x, y)$, infatti il campo trasmesso è:

$$E_{trasm} = Bt = Bt_{ref} + \gamma(B|a|^2 + BaA^* + BAa^*) = U_1 + U_2 + U_3 + U_4 \quad (3)$$

Utilizzando come fascio di ricostruzione lo stesso fascio di luce usato per il riferimento e assumendo che $|A|^2$ sia costante su tutta la lastra, si hanno due termini lineari rispettivamente in a e a^* che contengono tutta l'informazione sull'oggetto in esame:

$$U_3 = \gamma|A|^2a \quad U_4 = \gamma A^2 a^* \quad (4)$$

Se vogliamo quindi ricostruire e osservare l'immagine occorre separare spazialmente queste due componenti del campo trasmesso e per farlo si utilizza uno schema mostrato in Figura 1 che riprende l'ogramma di Leith-Uptanieks.

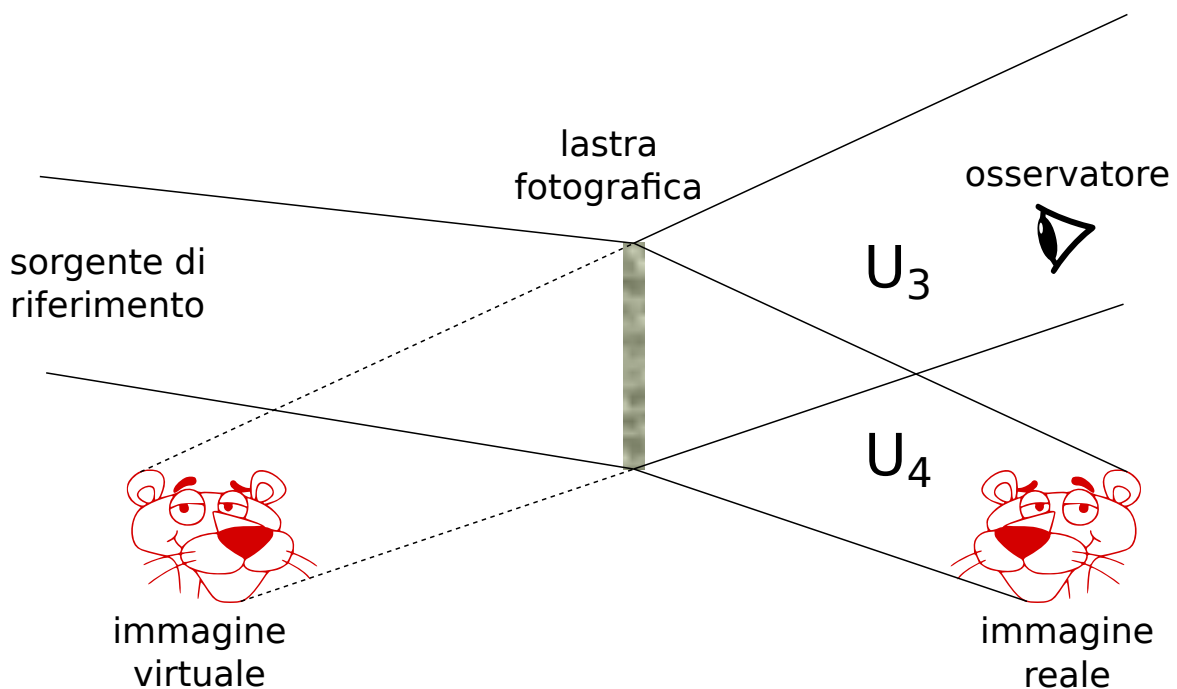


Figura 1: Schema olografia di Leith-Uptanieks

2 Apparato sperimentale

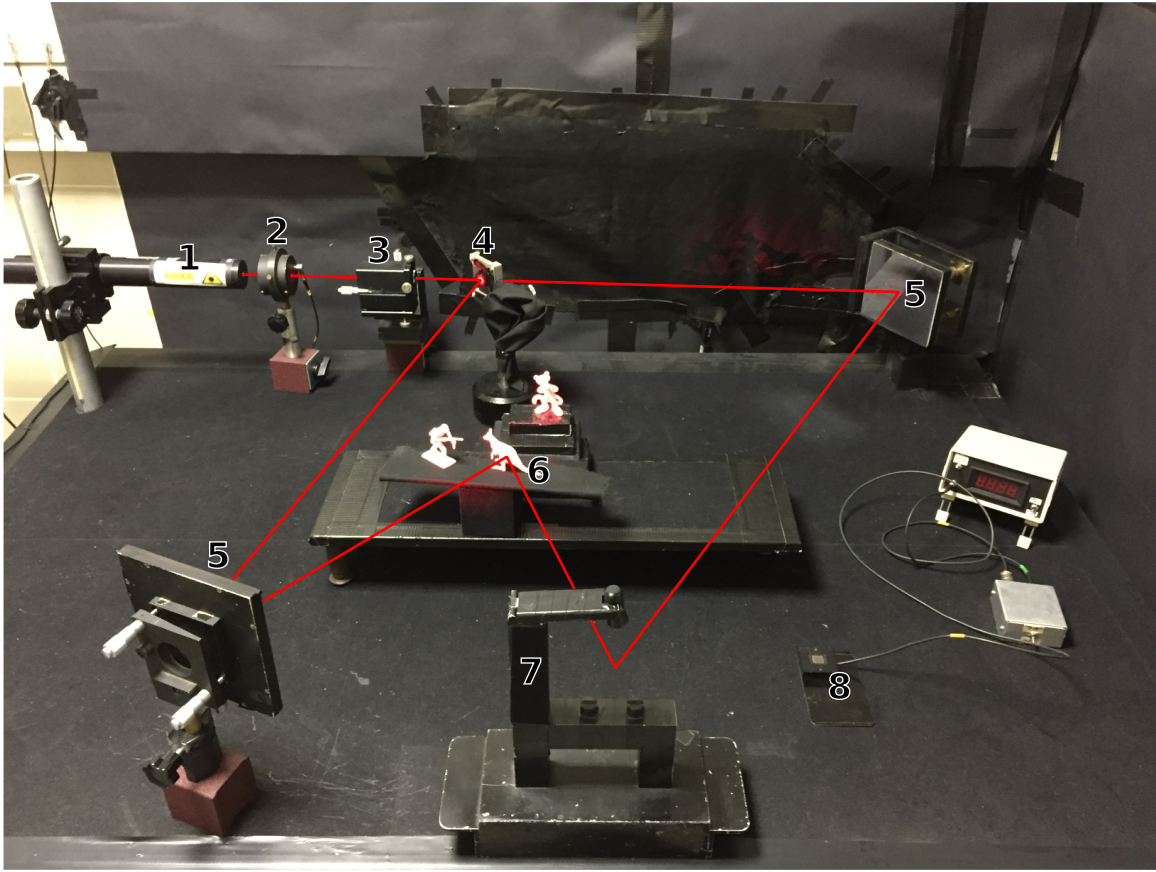


Figura 2: Schema olografia di Leith-Uptanieks. In rosso è tracciato il percorso del fascio laser.

L'apparato a disposizione è riportato in Figura 2 ed è composto da:

1. Laser He-Ne ($\lambda=633$ nm) di potenza ~ 15 mW e con una lunghezza di coerenza di ~ 1 m.
2. Shutter azionabile dall'esterno per oscurare completamente il fascio.
3. Obiettivo x20 e filtro spaziale (*pin-hole*). Il primo trasforma quella che trasforma quella che, date le distanze in gioco, può essere considerata un'onda piana in un'onda sferica per ottenere interferenza al finito. Il secondo è posizionato nel fuoco della lente divergente ed ha un diametro $12.5 \mu\text{m}$ per selezionare esclusivamente il modo TEM_{00} grazie al quale si ha un'illuminazione uniforme.
4. Beam splitter che trasmette il 5% del fascio come riferimento e ne riflette il 95% che viene poi indirizzato sull'oggetto.
5. Specchi per indirizzare i due fasci uno sulla lastra e uno sull'oggetto.
6. Oggetto di cui vogliamo fare l'olografia; probabilmente dipinto di bianco così da massimizzare la riflessione della luce su di esso.

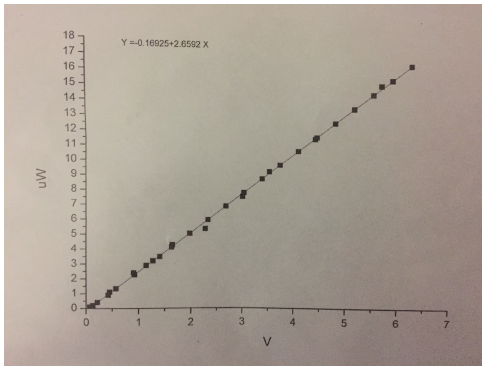
7. Supporto per la lastra fotografica.

8. Rivelatore al silicio con una superficie attiva di 1 cm^2 montato su un supporto che permette di misurare l'intensità incidente su tutta la superficie della lastra.



Il fotodiodo restituisce una tensione che è possibile convertire in una potenza per cm^2 grazie alla curva di taratura presente in laboratorio:

$$P[\mu\text{W}] = -0.16925 + 2.6592V_{mis} \quad (5)$$



Abbiamo inoltre a disposizione 4 lastre fotografiche ai sali d'argento; non esistono infatti dispositivi di acquisizione elettronici con la risoluzione necessaria a registrare l'interferenza di luce visibile.

3 Accorgimenti sperimentali

Come scritto, utilizziamo lo stesso fascio laser diviso in ampiezza come onda di riferimento e onda incidente sull'oggetto. È quindi necessario porre particolare attenzione al cammino ottico percorso dai due fasci; infatti la fase relativa fra il fascio proveniente dall'oggetto e quello di riferimento deve essere ben definita. Per questo la differenza di cammino tra i due fasci deve essere molto minore della lunghezza di coerenza del laser He-Ne. Si deve cioè avere:

$$A + B = C + D + E \quad (6)$$

È inoltre necessario calcolare il corretto tempo di esposizione della lastra. Per farlo serve conoscere la densità superficiale di energia necessaria per un anneramento ottimale che il professore ci ha detto essere $50 \frac{\mu\text{J}}{\text{cm}^2}$.

Il tempo di esposizione deve essere quindi calcolato come:

$$t[\text{s}] = \frac{50[\mu\text{J}]}{P[\mu\text{W}]} = \frac{50[\mu\text{J}]}{-0.16925 + 2.6592V_{mis}} \quad (7)$$

Come spiegato nella parte di teoria la lastra deve essere illuminata in modo uniforme, per questo sono state misurate le intensità I_r , I_o e I_{tot} rispettivamente del fascio di riferimento, della luce diffusa dall'oggetto e quella totale. Misurando separatamente I_r e I_o ci si è preoccupati anche di avere un buon rapporto segnale rumore verificando che l'intensità del fascio di riferimento fosse maggiore di quella del fascio oggetto.

4 Elaborazione lastra

La lastra fotografica non deve essere esposta alla luce ambientale prima di essere impressionata e sviluppata.

Una volta impressionata, la lastra deve essere inserita in un contenitore in modo tale che non sia esposta alla luce e che possa essere sviluppata senza essere danneggiata.

Il processo di sviluppo è costituito da 4 fasi che prevedono di riempire il contenitore con 3 diversi liquidi:

- Riempire il contenitore con il liquido di sviluppo e attendere per 5 minuti
- Riempire il contenitore con acqua distillata e attendere per 5 minuti
- Riempire il contenitore con il liquido di fissaggio e attendere per 5 minuti
- Riempire il contenitore con acqua distillata e attendere per 5 minuti

Dopo questi 4 passaggi è possibile estrarre la lastra dal contenitore e una volta asciutta può essere osservata posizionandola nuovamente sul supporto e illuminandola col fascio di ricostruzione.

5 Misure preliminari

Prima di posizionare ed impressionare la lastra fotografica sono necessarie alcune misure preliminari come evidenziano gli accorgimenti sperimentali.

Per ognuna delle 4 lastre impressionate sono state eseguite le seguenti misure:

- Abbiamo misurate le distanze A, B, C, D, E in modo che fosse verificata la relazione 6
- Abbiamo interrotto il fascio che incideva sull'oggetto e misurata l'intensità I_r del fascio di riferimento.
- Abbiamo interrotto il fascio di riferimento e misurata l'intensità I_o della luce diffusa dall'oggetto.
- Abbiamo misurato l'intensità totale I_{tot} incidente sulla lastra.
- Abbiamo calcolato la potenza totale P_{tot} incidente sulla lastra utilizzando l'equazione 5
- Abbiamo calcolato il tempo di esposizione considerando il valore centrale di P_{tot} utilizzando l'equazione 7

Nelle seguenti sezioni sono riportate varie tabelle in cui sono presenti tutti i valori misurati.

6 Olografia statica

Abbiamo utilizzato le prime due lastre per effettuare l'olografia di alcuni oggetti immobili e posizionati come in Figura 2.

6.1 Soldatino con lancia

Come primo oggetto abbiamo scelto un soldatino dotato di una lancia.

A	B	C	D	E
60.0	92.5	78.5	38.0	36.0

Distanze in cm con un errore di 0.5 cm

1.14		1.12
	1.48	
1.12		1.13

Valori di I_r espressi in V con un errore di 0.01 V

56		59
	59	
54		59

Valori di I_o espressi in mV con un errore di 1 mV

1.09	1.13	1.11
1.43	1.50	1.45
1.21	1.26	1.24

Valori di I_{tot} espressi in V con un errore di 0.01 V

2.73	2.84	2.78
3.63	3.81	3.69
3.04	3.18	3.13

Valori di P_{tot} espressi in μ W

Abbiamo così ottenuto un tempo di esposizione $t = 13$ s che ha portato all'ogramma mostrato in Figura 3:



Figura 3

6.2 La caccia

Per la seconda lastra abbiamo scelto tre oggetti diversi: un canguro, un soldato con un fucile e la pantera rosa.

Oggetto	A	B	C	D	E
Soldato	62.5	89.5	77.5	34.5	39.0
Canguro	-	-	-	38.5	35.5
Pantera	-	-	-	50.0	46.0

Distanze in cm con un errore di 0.5 cm

1.19	1.24	1.19
1.50	1.54	1.49
1.20	1.22	1.19

Valori di I_r espressi in V con un errore di 0.01 V

67	69	70
68	70	71
69	68	71

Valori di I_o espressi in mV con un errore di 1 mV

1.25	1.30	1.25
1.56	1.59	1.52
1.25	1.27	1.24

Valori di I_{tot} espressi in V con un errore di 0.01 V

3.15	3.28	3.15
3.98	4.06	3.87
3.15	3.21	3.13

Valori di P_{tot} espressi in μ W

Abbiamo così ottenuto un tempo di esposizione $t = 12$ s che ha portato all'ogramma mostrato in Figura 4:



Figura 4

7 Olografia dinamica

Le restanti due lastra le abbiamo utilizzate per effettuare due ologrammi dinamici, cioè i due oggetti scelti sono stati in "movimento" per metà tempo di esposizione e fermi per l'altra metà.

7.1 Cubo con martelletto

Il primo oggetto scelto è un cubo dotato di un martelletto che può sbatterci sopra. Per effettuare l'ologramma abbiamo preparato la lastra, premuto il martelletto, acceso il laser, lasciato il martelletto e infine spento il laser.

A	B	C	D	E
62.5	89.5	78.0	39.0	35.0

Distanze in cm con un errore di 0.5 cm

1.24	1.29	1.25
1.53	1.55	1.51
1.19	1.24	1.15

Valori di I_r espressi in V con un errore di 0.01 V

51	51	51
53	52	53
50	50	50

Valori di I_o espressi in mV con un errore di 1 mV

1.23	1.30	1.25
1.55	1.58	1.54
1.25	1.30	1.22

Valori di I_{tot} espressi in V con un errore di 0.01 V

3.10	3.29	3.15
3.95	4.03	3.93
3.15	3.29	3.07

Valori di P_{tot} espressi in μW

Abbiamo così ottenuto un tempo di esposizione $t = 12$ s diviso in due parti da 6 s ciascuna che ha portato all'ogogramma mostrato in Figura 5:

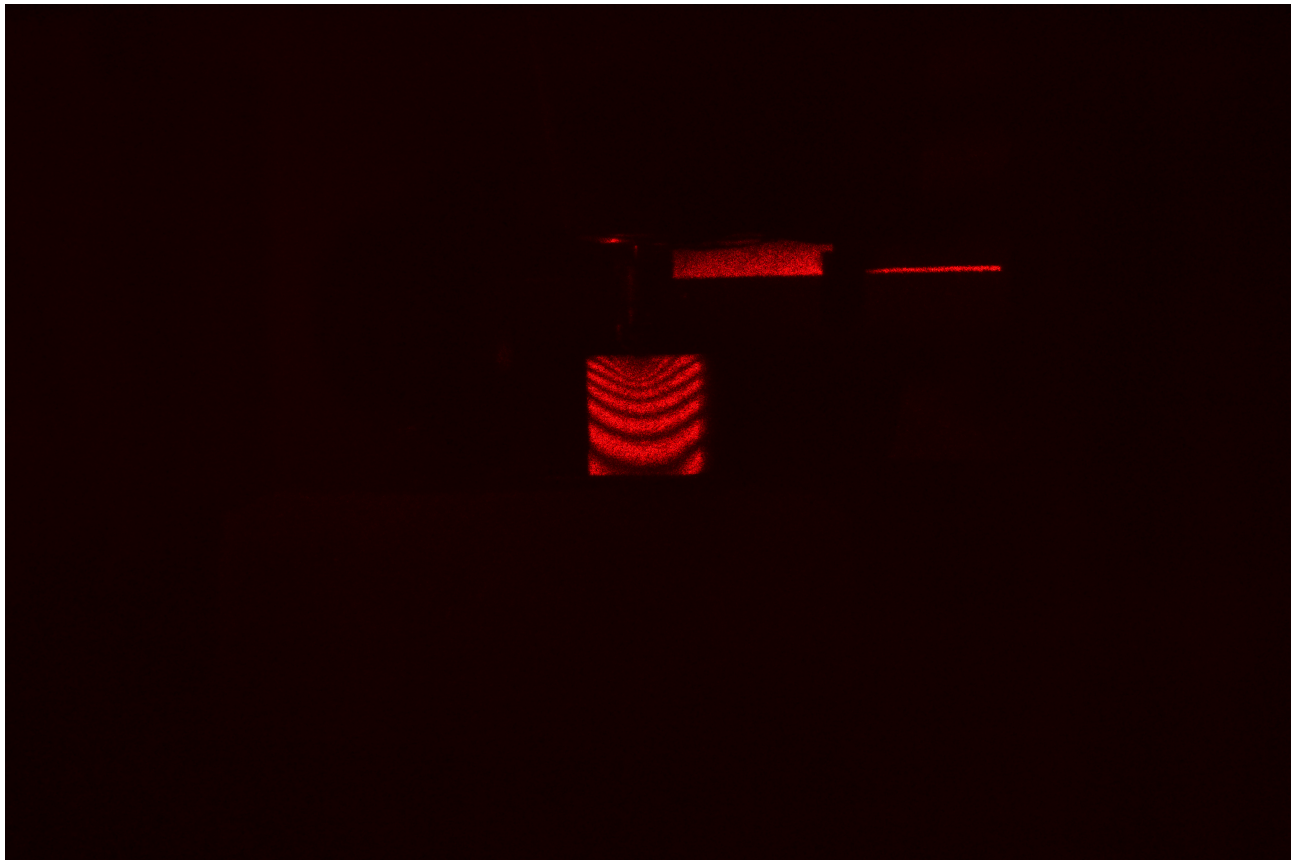


Figura 5

7.2 Altoparlante

Abbiamo utilizzato l'ultima lastra a nostra disposizione per effettuare l'olografia di un altoparlante collegato ad un generatore di funzioni impostato a 783 Hz (un Sol5). Come per il cubo abbiamo tenuto acceso l'altoparlante per la prima metà del tempo di esposizione e lo abbiamo spento durante la seconda metà.

A	B	C	D	E
63.0	87.5	69.0	36.5	44.0

Distanze in cm con un errore di 0.5 cm

1.24	1.31	1.28
1.58	1.61	1.57
1.26	1.33	1.25

Valori di I_r espressi in V con un errore di 0.01 V

98	95	96
94	97	100
93	97	99

Valori di I_o espressi in mV con un errore di 1 mV

1.34	1.38	1.36
1.62	1.67	1.65
1.29	1.38	1.30

Valori di I_{tot} espressi in V con un errore di 0.01 V

3.39	3.50	3.44
4.14	4.27	4.22
3.26	3.50	3.29

Valori di P_{tot} espressi in μ W

Abbiamo così ottenuto un tempo di esposizione $t = 11.7$ s che ha portato all'ogramma mostrato in Figura 6:

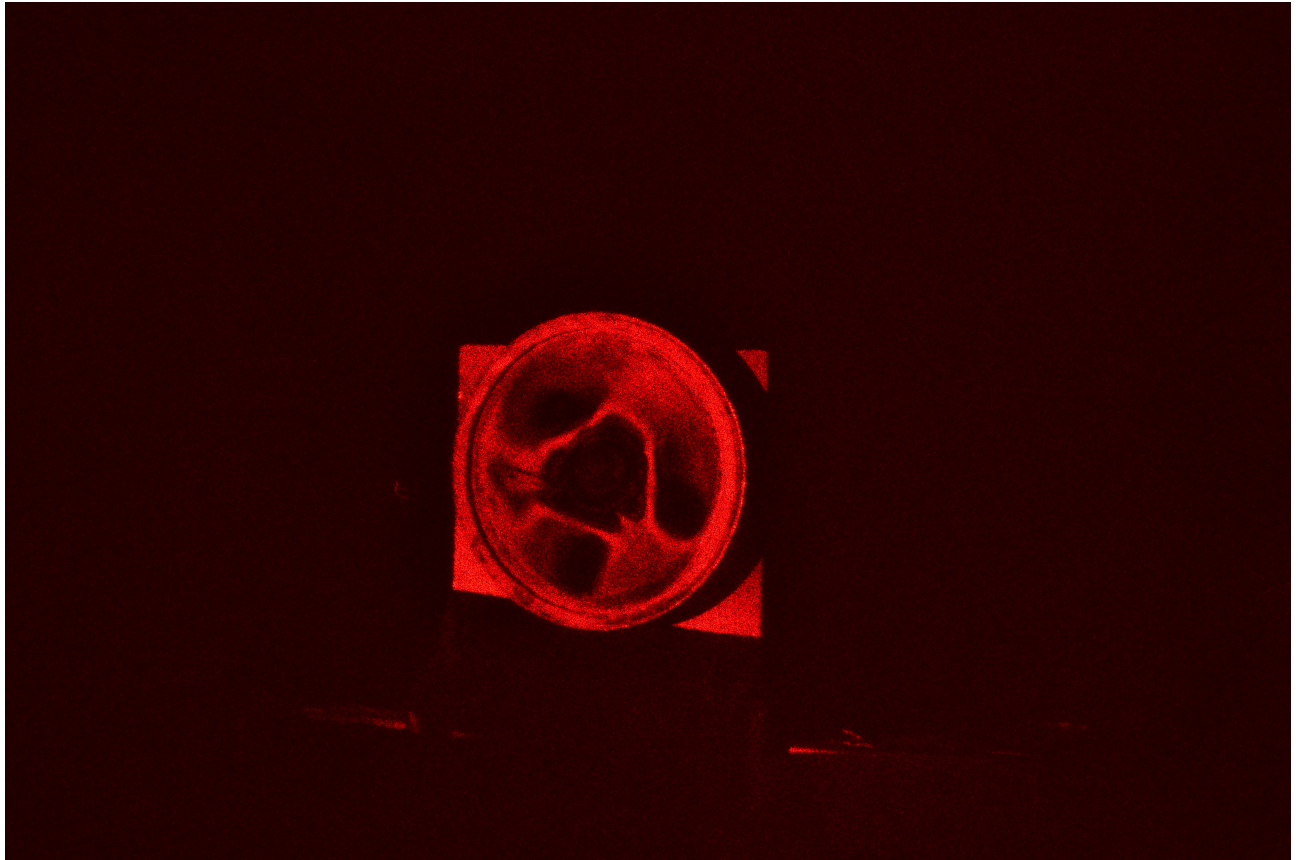


Figura 6

8 Lampada spettrale

Una lampada spettrale è in grado di emettere luce a diverse lunghezze d'onda nel visibile. Osservan-

do l'ologramma in trasmissione le immagini a diverse d'onda vengono separate a causa del diverso indice di rifrazione come mostrato in Figura 7:

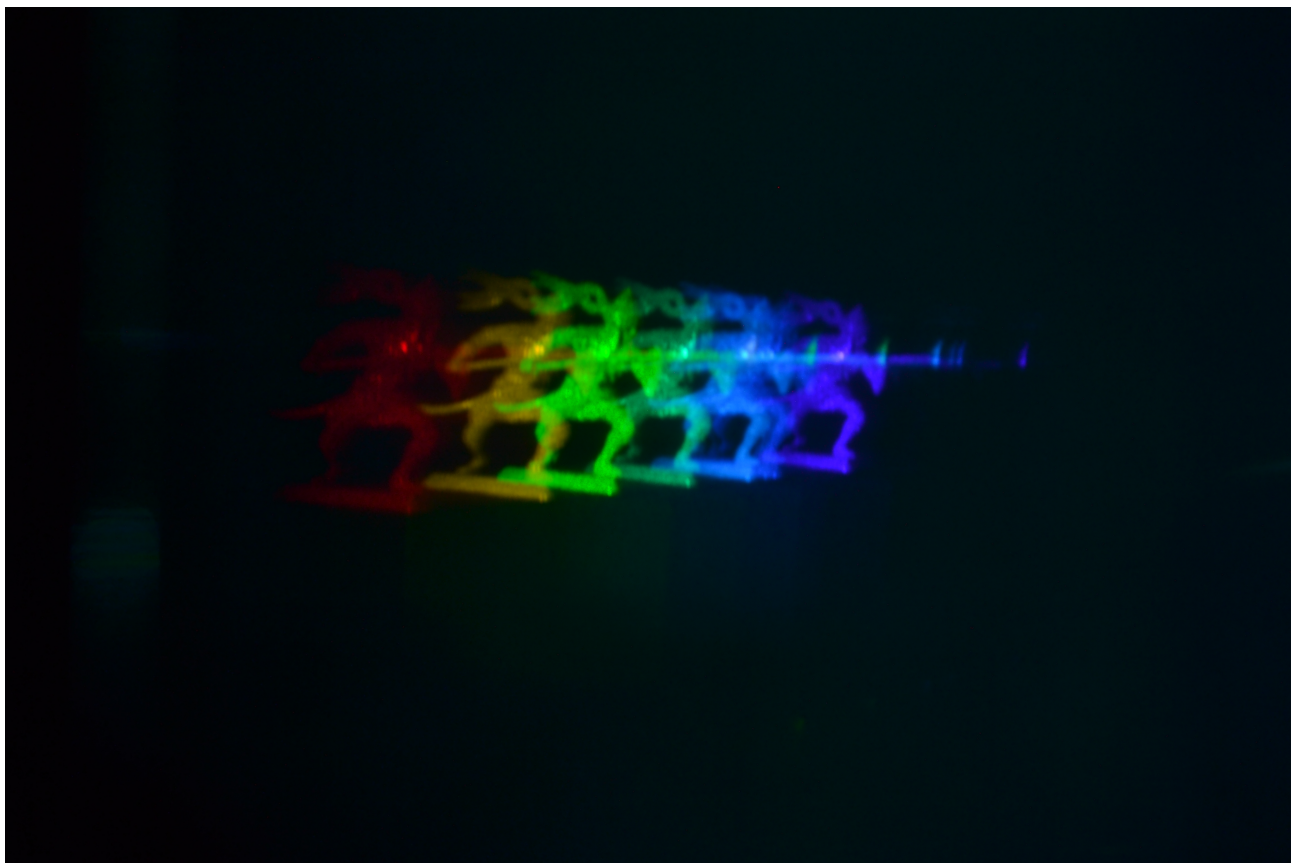


Figura 7